

## BIBLIOGRAFIA

1. VOLESKY,B. Removal and recovery of metals by biosorbent materials, Biotec 2, p. 135-49.
2. COSTA, A.C.A, COSTA, C.L, TELES, E.M.F. Metabolically mediated cadmium uptake and cadmium biosorption. In: *First Labs - Latin American Biodegradation Symposium*, Campos do Jordão, 1992.

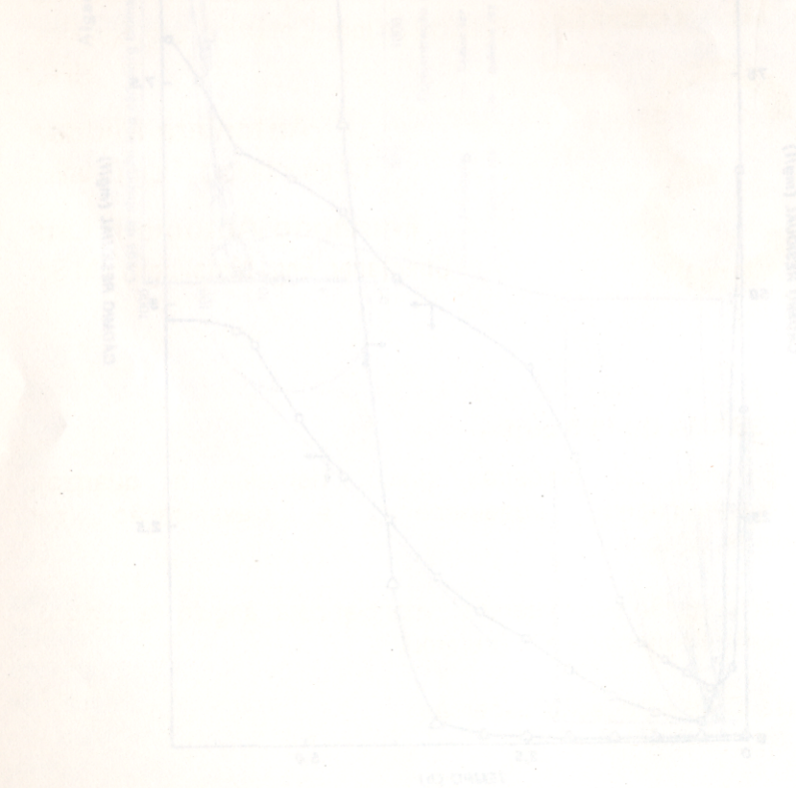


Figura 4 - Intensidade de dispersão de raios-X  
Figura 5 - Biosorção de óxidos de ferro

## PAINEL 3

### Separação Seletiva de Finos por Agregação Hidrofóbica

Débora da S. de Mendonça  
Bolsista de Inic. Científica, Eng. Química,  
UFRJ

Antonieta Middea  
Co-orientadora, Engº Química

Fernando Antonio F.Lins  
Orientador, Engº Metalúrgico, M.Sc.

#### 1. PROGRAMA DE PESQUISA

- Preparação de amostras (talco, hematita e quartzo): britagem/moagem, peneiramento e classificação por sedimentação.
- Caracterização dos materiais: potencial zeta, ângulo de contato, superfície específica e granulometria.
- Ensaios de agregação/dispersão.

## 2. METODOLOGIA

### a) Determinação do ponto isoelétrico do quartzo, hematita e talco.

O ponto isoelétrico das partículas minerais não modificadas por adsorção de coletor foi obtido por medições da mobilidade eletroforética, feitas com o emprego do aparelho "Rank Brothers-Electrophoresis Apparatus". As dispersões dos minerais foram preparadas a partir de frações abaixo de 74 micrômetros, em KCl  $10^{-3}$ M, a uma concentração de 2g/L. O pH foi modificado com ácido clorídrico ou hidróxido de potássio. Plotou-se a curva potencial zeta X pH. O ponto isoelétrico do mineral corresponde ao pH onde a curva intercepta o potencial zeta igual a zero.

### b) Determinação do grau de hidrofobicidade do quartzo, hematita e talco.

O grau de hidrofobicidade das partículas minerais foi avaliado através de medidas de ângulo de contato (goniômetro Hamé-Hart). As superfícies de quartzo foram condicionadas por 4 horas em soluções de cloreto de dodecilamina  $5 \times 10^{-4}$ M /KCl  $10^{-3}$ M em vários valores de pH. A superfície de talco foi mantida apenas condicionada em KCl  $10^{-3}$ M. Mediú-se o ângulo de contato para o sistema superfície mineral/ solução/ ar (método da bolha cativa).

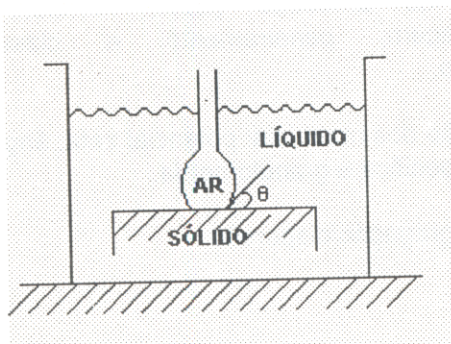


Figura 1 - Esquema de medição do ângulo de contato

## 3. RESULTADOS

Resultados semelhantes encontram-se nas referências 1, 2 e 3.

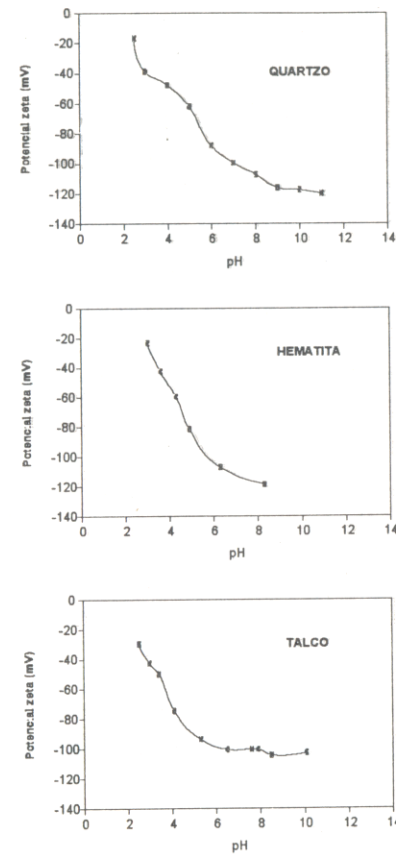


Figura 2 - Determinação do ponto isoelétrico do quartzo, hematita e talco

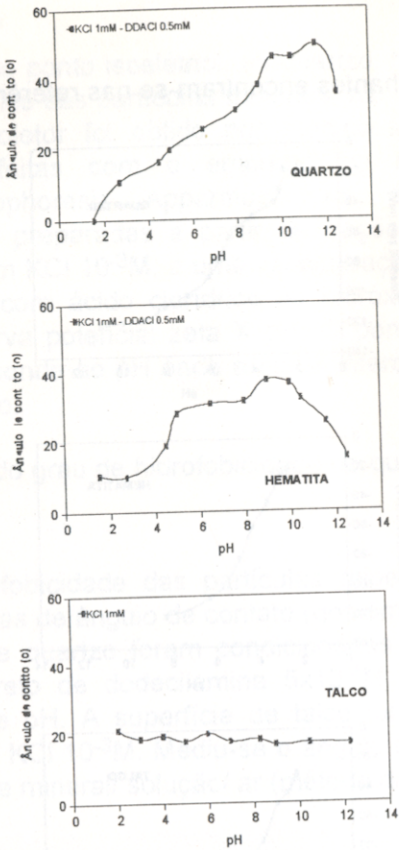


Figura 3 - Determinação do grau de hidrofobicidade do quartzo, hematita e talco:

#### 4. CONCLUSÕES

O quartzo apresentou um ponto isoelétrico em torno do pH 2,0, a hematita em pH 2,8 e o talco em pH 1,0. A hidrofobicidade do quartzo aumenta até atingir um máximo em pH 10, onde possui ângulo de contato de 45°.

A hidrofobicidade da hematita aumenta até atingir um máximo em pH 9, onde apresenta um ângulo de contato de 35°.

O talco não apresentou modificação em sua hidrofobicidade na presença de KCl 10<sup>-3</sup>M, mantendo um ângulo de contato de 20° para toda a faixa de pH analisada.

#### REFERÊNCIAS BIBLIOGRÁFICAS

- WIESE, G. R., JAMES, R. O., HEALY, T. W. Discreteness of charge and solvation effects in cation adsorption at the oxide/water interface. *Disc. Faraday Soc.*, n. 52, 1971.
- SHERGOLD, H. L., MELLGREN, O. Concentration of minerals at the oil-water system in the presence of sodium dodecyl sulphate. *Trans. Inst. Min. Metall.*, n. 78, 1969.
- LAFAYE, J. F., JACQUELIN, G. La microélectrophorèse et son application à la détermination de la mobilité des charges minérales dans divers milieux. *Peintures-Pigments-Vernis*, n. 5, 1969.